

## Очистка сигнала от шумов с использованием вейвлет преобразования и фильтра Калмана

М.В.Обидин\*, А.П.Серебровский\*\*

\*Московский физико-технический институт (государственный университет), Москва, Россия

\*\*Институт проблем передачи информации, Российская академия наук, Москва, Россия

Поступила в редколлегию 13.06.2013

**Аннотация**—Рассмотрен метод очистки сигналов от шумов сочетающий в себе вейвлет преобразование и фильтр Калмана. Приводится сравнение с трешолдингом. Приводятся примеры очистки от шумов для реальных экономических данных.

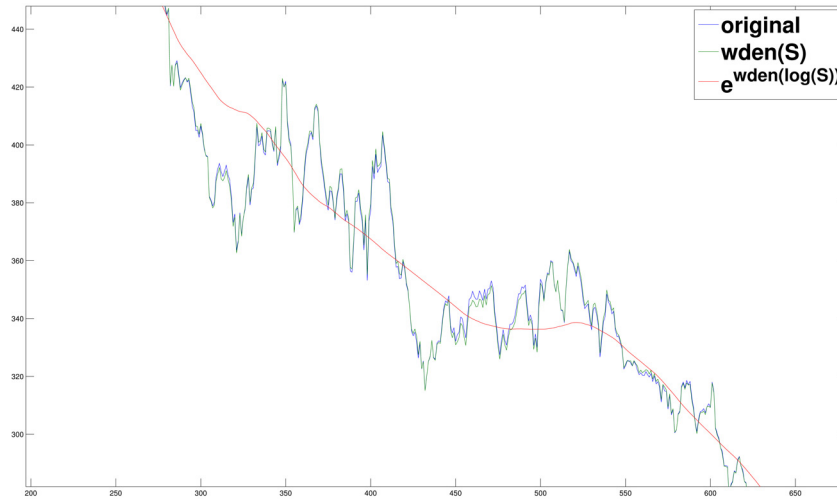
**КЛЮЧЕВЫЕ СЛОВА:** вейвлеты, трешолдинг, фильтрация, биортогональные вейвлеты, фильтр Калмана.

### 1. ВВЕДЕНИЕ

Один из методов анализа зашумленных сигналов - это трешолдинг. По сути он представляет из себя разложение рассматриваемого сигнала в виде его вейвлет-спектра с последующей его обработкой. Следует заметить, что вейвлет-спектр это функция от двух аргументов - времени и масштаба. Однако в случае дискретного вейвлет преобразования мы получаем набор из  $N$  последовательностей, где номер последовательности соответствует координате масштаба, а номер элемента в последовательности - временной координате. Следует так же заметить, что даже для очень длинных исходных сигналов  $N$  - величина достаточно маленькая, она ограничена величиной  $\log_2(M)$ , где  $M$  - количество отсчетов в рассматриваемом сигнале. В тоже время длины последовательностей в дискретном вейвлет-спектре могут быть достаточно большими (длина одной из последовательностей всегда будет близка к  $\frac{M}{2}$ ). Все это позволяет обрабатывать последовательности вейвлет спектра независимо друг от друга. Так, жесткий трешолдинг устанавливает определенный пороговый уровень для каждой последовательности ДВС и заменяет на 0 все компоненты последовательности меньше этого порога. Такой подход, совмещенный с адаптивным алгоритмом выбора порога, позволяет трешолдингу очень успешно удалять шум без какой-либо дополнительной информации о сигнале.

К сожалению подобный метод не лишен некоторых недостатков, так например попытка очистить от шумов график индекса NASDAQ для компании Apple Inc. с использованием трешолдинга (и критерия Штейна (SURE) для выбора порога) приводит к полностью неудовлетворительным результатам. В тоже время, если попытаться применить трешолдинг не к индексу, а к логарифму от него, то результат будет значительно более успешным (см рисунок 1). Данный пример показывает, что простой пороговый трешолдинг далеко не всегда является достаточно успешным приемом в очистке сигнала от шумов.

Метод описываемый в данной статье заключается в применении фильтра Калмана [1] для обработки последовательностей вейвлет спектра вместо трешолдинга. Используемый фильтр строится на достаточно общих предположениях, что позволяет применять его к широкому классу сигналов, оценки этого фильтра, полученного Лищером и Хасьминским, обладают (вне пограничного слоя) наилучшей скоростью сходимости к нулю при  $N \rightarrow \infty$  в смысле среднеквад-



**Рис. 1.** Пример недостатка трешолдинга. Первый график - исходный сигнал  $S$ . Второй -  $wden(S)$ , где  $wden$  - функция выполняющая трешолдинг. Третий -  $e^{wden(\log_2(S))}$ .

ратической ошибки фильтрации, а его свойства позволяют избежать некоторых недостатков, присущих другим методам.

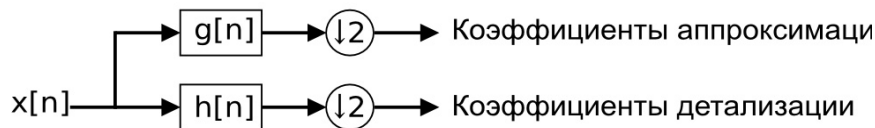
## 2. ОСНОВНЫЕ ОПРЕДЕЛЕНИЯ И ОБОЗНАЧЕНИЯ

Для краткости в данной статье приняты следующие обозначения:

**ДВП** Дискретное вейвлет преобразование

### 2.1. ВЕЙВЛЕТ РАЗЛОЖЕНИЕ

Основа ДВП - это 2 функции: масштабирующая и вейвлет. На основе каждой из этих функция строится свой фильтр. В литературе, посвященной данной тематике, их принято называть низкочастотный (low-pass) фильтр  $g$  и высокочастотный фильтр  $h$ .



**Рис. 2.** Дискретное вейвлет преобразование.

Вейвлет преобразование выполняется следующим образом: сигнал независимо пропускается через оба фильтра и из получившихся сигналов выбираются только четные элементы. Таким образом на выходе у нас получаются две последовательности, каждая из которых в два раза короче исходной. Последовательность прошедшую  $h$  фильтр называют коэффициентами детализации. Последовательность прошедшую  $g$  фильтр называют коэффициентами аппроксимации. Эта процедура проиллюстрирована в рисунке 2

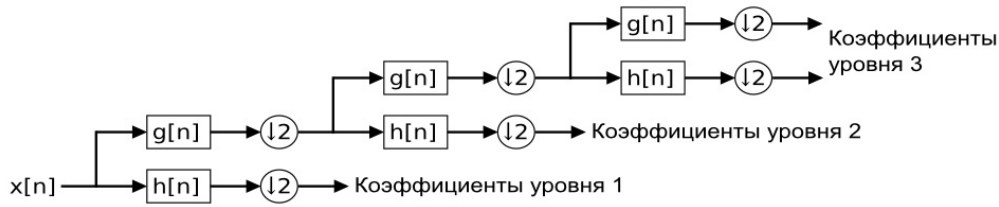


Рис. 3. Дискретное вейвлет преобразование глубины 3.

Если же мы сделаем ту же операцию над коэффициентами аппроксимации, то получим еще 2 набора коэффициентов называемых коэффициентами аппроксимации и детализации глубины 2, а саму процедуру будем называть ДВП глубины 2. Данную процедуру можно повторять до тех пор пока последовательность коэффициентов аппроксимации не станет слишком короткой. Таким образом мы можем получить ДВП глубины  $N$ , результатом работы которой являются  $N$  наборов коэффициентов детализации (каждая из которых в 2 раза короче предыдущей) и один набор коэффициентов аппроксимации. Иллюстрация этого процесса представлена на рисунке 3

Более подробное рассмотрение процесса вейвлет преобразования можно найти в статье [2], тем же кто заинтересован в глубоком понимании данного вопроса стоит обратиться к книге [3].

Важным свойством такого разложения являются обратимость и линейность. Это позволяет нам выполнить ДВП, как-то обработать коэффициенты, а затем выполнить обратное ДВП и получить измененный сигнал. Именно по такой схеме работает трешолдинг.

Однако это не единственная возможно использовать фильтрацию совместно с вейвлет преобразованием. В данной работе так же рассматривается следующий алгоритм:

#### Алгоритм 1.

1 Выполняем ДВП глубины  $N$  над исходным сигналом.

2а Заменяем все коэффициенты детализации и аппроксимации кроме коэффициентов детализации глубины 1

2б Применяем обратное ДВП к получившимся коэффициентам.

3в Применяем шаги 2а и 2б по очереди к каждому набору коэффициентов детализации и к набору коэффициентов аппроксимации.

В результате шага 2 мы получили  $N + 1$  сигнал, если их сложить, то мы получим исходный сигнал. Другими словами, с помощью вейвлет преобразования мы разложили наш сигнал на суммы из  $N + 1$  сигналов, каждый из которых мы можем обрабатывать независимо.

## 2.2. ФИЛЬТР КАЛМАНА

В данной статье мы использовали фильтр Калмана описываемый в работах [1] и [4]. Данный фильтр применим к сигналам из множества

$$\sum(\beta, L) = \left\{ \begin{array}{l} \text{существуют } k \text{ производных, } f^{(0)}, f^{(1)}, \dots, f^{(k)}; \\ f : |f^{(k)}(t_2) - f^{(k)}(t_1)| \leq L|t_2 - t_1|^\alpha, \forall t_1, t_2, \alpha \in (0, 1]; \\ \beta = k + \alpha \end{array} \right\}.$$

Он имеет вид

$$\widehat{F}^n(t_i) = \widehat{F}^n(t_{i-1}) + \frac{1}{n}a\widehat{F}^n(t_{i-1}) + q_n(X_i - A\widehat{F}(t_{i-1})),$$

где

$$\widehat{F}^n(t_i) = \begin{pmatrix} \widehat{f}_n^{(0)}(t_i) \\ \widehat{f}_n^{(1)}(t_i) \\ \vdots \\ \widehat{f}_n^{(k)}(t_i) \end{pmatrix}, \quad q_n = \begin{pmatrix} q_0 n^{-\frac{2\beta}{2\beta+1}} \\ q_1 n^{-\frac{2\beta-1}{2\beta+1}} \\ \vdots \\ q_k n^{-\frac{2\beta-k}{2\beta+1}} \end{pmatrix},$$

$$A = (1 \ 0 \ \dots \ 0)_{1 \times (k+1)}, \quad a = \begin{pmatrix} 0 & 1 & 0 & 0 & \dots & 0 \\ 0 & 0 & 1 & 0 & \dots & 0 \\ \dots & \dots & \dots & \dots & \dots & \dots \\ 0 & 0 & 0 & 0 & \dots & 1 \\ 0 & 0 & 0 & 0 & \dots & 0 \end{pmatrix}_{(k+1) \times (k+1)},$$

$$\begin{aligned} q_0(\gamma) &= U_{00} \left(\frac{\gamma}{\sigma}\right)^{\frac{1}{k+1}} \\ q_1(\gamma) &= U_{01} \left(\frac{\gamma}{\sigma}\right)^{\frac{2}{k+1}} \\ &\dots \\ q_k(\gamma) &= U_{0k} \left(\frac{\gamma}{\sigma}\right). \end{aligned}$$

Параметр  $\gamma$  подбирается [4] из условия минимизации функции

$$C(q) = \sigma^2 \left( \int_0^\infty q^* e^{(a-qA)^*t} e^{(a-qA)t} q dt + \left(\frac{L}{\sigma}\right)^2 \left[ \left(\frac{1}{q_k}\right)^2 + \sum_{j=0}^{k-1} \left(\frac{q_j}{q_k}\right)^2 \right] \right).$$

Коэффициенты  $U_{00}, \dots, U_{0k}$  берутся из таблицы (для  $k \leq 3$  полученной ещё Калачёвым [5]).

$k$	$U_{00}$	$U_{01}$	$U_{02}$	$U_{03}$	$U_{04}$
0	1	NA	NA	NA	NA
1	$\sqrt{2}$	1	NA	NA	NA
2	2	2	1	NA	NA
3	$\sqrt{4 + \sqrt{8}}$	$2 + \sqrt{2}$	$\sqrt{4 + \sqrt{8}}$	1	NA
4	$1 + \sqrt{5}$	$3 + \sqrt{5}$	$3 + \sqrt{5}$	$1 + \sqrt{5}$	1

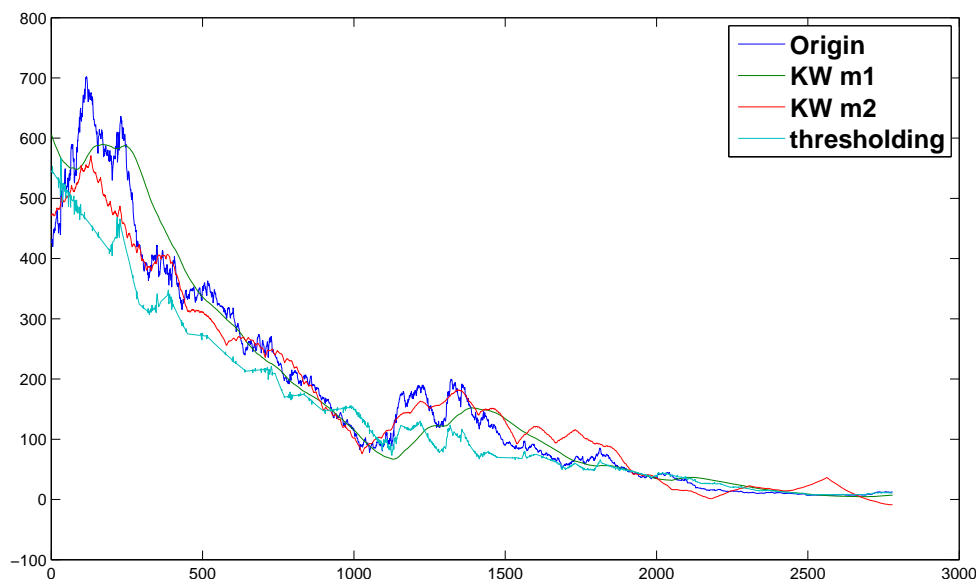
Данный фильтр на выходе дает не только сам сигнал, но и его производные. Однако производные в данной работе не используются, что означает, что мы можем выбрать любое  $k \geq 0$ .

К сожалению фильтр не сходится достаточно быстро, чтобы его можно было применять к коротким сигналам. Однако данный недостаток можно обойти следующим образом:

**Алгоритм 2.**

- 1 Применяем фильтр к сигналу используя нулевые начальные условия
- 2 Применяем фильтр к тому же сигналу, но с обратным временем. В качестве начальных условий берем последнюю точку полученную в шаге 2. Данный прием позволяет обойти пограничный слой около начальных условий.
- 3 Снова применяем фильтр к исходному сигналу (с прямым временем), но в качестве начальных условий берем последнюю точку с шага 2.

Результатом фильтрации является результат третьего прохода. Такой способ нахождения начальных условий значительно ускоряет сходимость фильтра и позволяет его применять к коротким сигналам.



**Рис. 4.** Сравнение трешолдинга с KW фильтрами. Тип вейвлета - *biort2.2* (подробнее см. [3] [6]), глубина разложения - 11,  $\sigma = 4$ ,  $k = 1$ ,  $\gamma = 49$ .

### 3. КОНЕЧНЫЙ ВИД ФИЛЬТРА И ЕГО ВАРИАНТЫ

Объединяя вейвлет преобразование и калмановский фильтр мы получаем два варианта фильтрации:

1) Мы используем вейвлет преобразование чтобы разделить исходный сигнал на сумму сигналов, а затем эти сигналы пропускаем через фильтр Калмана и затем суммируем их. Этот вариант фильтра значительно отличается от трешолдинга и в ряде случаев дает значительно превосходящие его результаты. Далее этот фильтр будет обозначаться *KWm1*.

2) Мы используем фильтр Калмана для обработки коэффициентов детализации сигнала (коэффициенты аппроксимации мы оставляем не тронутыми), а затем выполняем над ними обратное ДВП. Данный вариант похож на трешолдинг. Недостатком данного варианта является то, что фильтрация коэффициентов аппроксимации дает очень плохой результат, поэтому их приходится оставлять не тронутыми. В случае если глубина вейвлет разложения мала, мы получим длинный ряд коэффициентов аппроксимации, и фильтр будет иметь несколько незаконченный вид. Далее этот фильтр будет обозначаться *KWm2*.

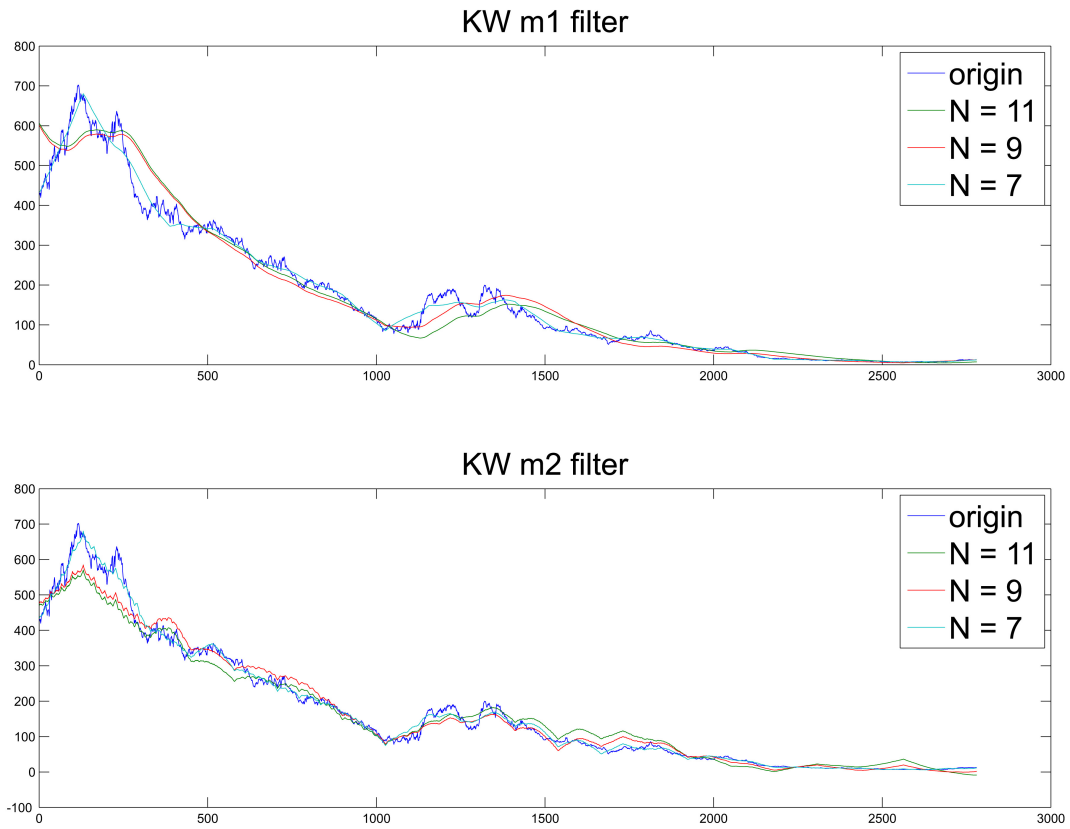


Рис. 5. Влияние глубины разложения. Тип вейвлета - bior2.2,  $\sigma = 4$ ,  $k = 1$ ,  $\gamma = 49$ .

Оба варианта фильтра можно видоизменять регулируя тип вейвлетов, глубину разложения, а так же параметры фильтра Калмана.

#### 4. ПРИМЕРЫ ПРИМЕНЕНИЯ

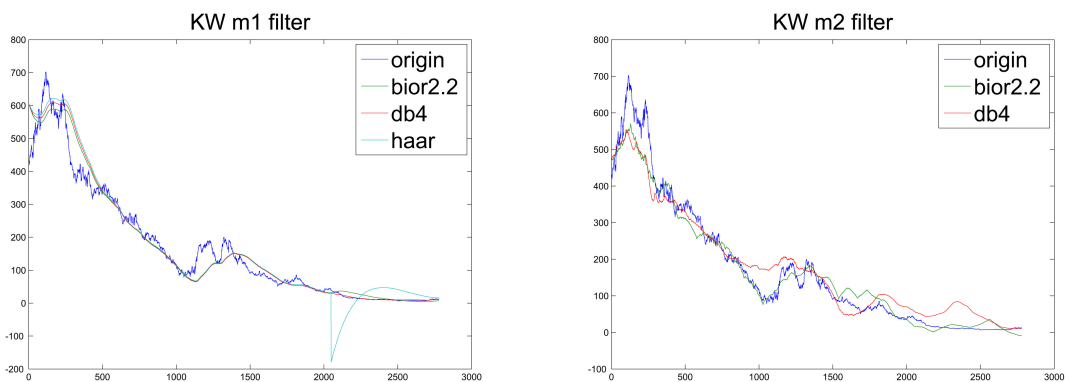


Рис. 6. Влияние типа вейвлета. Глубина разложения - 11,  $\sigma = 4$ ,  $k = 1$ ,  $\gamma = 49$ .

Фильтр применялся к данным цен на нефть и к индексу NASDAQ различных компаний за длительные периоды времени.

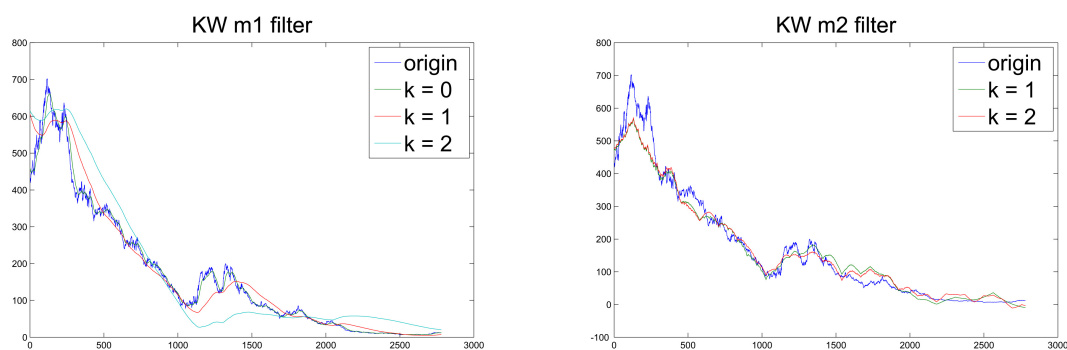


Рис. 7. Влияние параметров фильтрации . Глубина разложения - 11,  $\sigma = 4$ ,  $\gamma = 49$ .

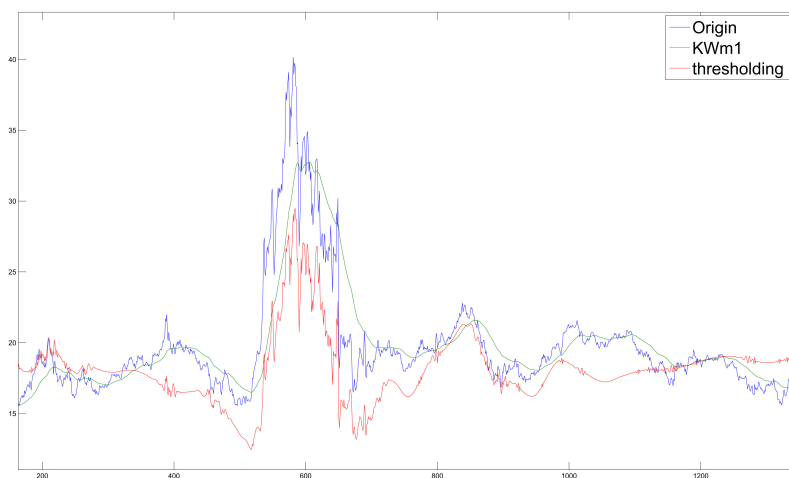


Рис. 8. Сравнение фильтра  $KWm1$  при  $k = 0$  с трешолдингом. Глубина разложения - 12,  $\sigma = 4$ ,  $\gamma = 49$ .

На рисунке 4 можно увидеть сравнение двух вариантов фильтра с трешолдингом и с исходными данным индекса акций Apple Inc. Трешолдинг в данном примере применялся к натуральному логарифму от индекса акции, а затем бралась экспонента от полученного результата.

На рисунках 5 показана зависимость результатов фильтрации от глубины вейвлет разложения для первой и второй модификаций соответственно.

На рисунках 6 можно увидеть влияние типа вейвлета на результаты фильтрации. Типы вейвлетов обозначены согласно обозначениям принятым в MATLAB (подробнее о вейвлетах в MATLAB см. [6]). Для фильтра  $KWm2$  не приведен пример с вейвлетом Хаара ввиду сильного несовпадения по масштабу с остальными графиками. Как видно тип вейвлета слабо влияет на  $KWm1$  фильтр (исключение составляет вейвлет Хаара, он оказался полностью непригоден для обеих версий фильтра) и оказывает значительное влияние на  $KWm2$  фильтр, что является достаточно неожиданным фактом.

На рисунках 7 отражено влияние параметров фильтра Калмана на результат фильтрации. Крайне интересный результат получается у фильтра  $KWm1$  при  $k = 0$ .

На рисунке 8 можно увидеть более детальный пример сравнения этого варианта фильтра с трешолдингом.

## 5. ВЫВОДЫ

В данной работе получен новый тип фильтра сочетающего в себе положительные качества как трешолдинга, так и калмановской фильтрации. Фильтр достаточно гибок в настройке и позволяет подбирать параметры фильтра под конкретные задачи.

## СПИСОК ЛИТЕРАТУРЫ

1. Р. Ш. Липцер, Р. З. Хасьминский, Слежение за гладкой функцией регрессии. ТВП, 2002, том 47, выпуск 3, стр. 567-575.
2. Обидин М. В. Серебровский А. П. Вейвлеты и адаптивный трешолдинг. Информационные процессы, 2013, том 13, № 2, стр. 91-99.
3. Добеши И. Десять лекций по вейвлетам. Ижевск: НИЦ "Регулярная и хаотическая динамика" 2001.
4. Goldentayer L, Liptser R, On-line Tracking of a Smooth Regression Function. Statistical Inference for Stochastic Processes 2006, 9(1), pp.17-30.
5. Калачев М. Г. Один метод многократного дифференцирования сигнала в системах автоматического управления. Автоматика и телемеханика, 1970, 6, стр. 29-36.
6. Смоленцев Н.К. Вейвлет-анализ в MATLAB. М.: ДМК Пресс. 2010

**Method of denoising with using Kalman filter and wavelet transform****Obidin M.V., Serebroski A.P.**

The paper deals with the method of denoising that combine wavelets transform and Kalman filter. Author compare this filter with thresholding. Examples of denoising real economics data are provided.

**KEYWORDS:** wavelets, thresholding, filtering, Kalman filter.